

## ПОВЫШЕНИЕ ТОЧНОСТИ ОБРАБОТКИ ПРОФИЛЬНЫХ ПАЗОВ

В.Г. Нечепаев, М.С. Мышов, А.Л. Тагинцев

ГВУЗ "Донецкий национальный технический университет"

*Виконано аналіз процесу повторної взаємодії різального інструменту зі стружкою при фрезеруванні Т-подібних пазів. Аналіз дозволив зробити висновок, що похибка обробки внаслідок повторної взаємодії становить істотну частину загальної похибки обробки пазів. Усунення або зниження цієї похибки є істотним резервом підвищення точності обробки профільних пазів.*

Профильные пазы вследствие ограниченности пространства для размещения отделенной стружки являются весьма нетехнологичными элементами конструкций. При этом они составляют значительную часть общего объема металлообработки в процессе изготовления станочного оборудования.

Широкое применение и не технологичность конструкции таких пазов определяет актуальность поиска путей повышения точности их изготовления. Точность изготовления пазов в существенной мере определяется эффективной эвакуацией отделенной стружки – при несвоевременном ее удалении из зоны резания имеет место повторное взаимодействие стружки с зубьями фрезы, вызывающее дополнительную погрешность обработки.

Для изучения характера повторного взаимодействия режущего инструмента со стружкой при фрезеровании Т-образного паза выполнен анализ процесса её накопления и перемещения после отделения.

В течение оборота фрезы при обработке Т-образного паза можно выделить две характерные зоны (рис. 1):

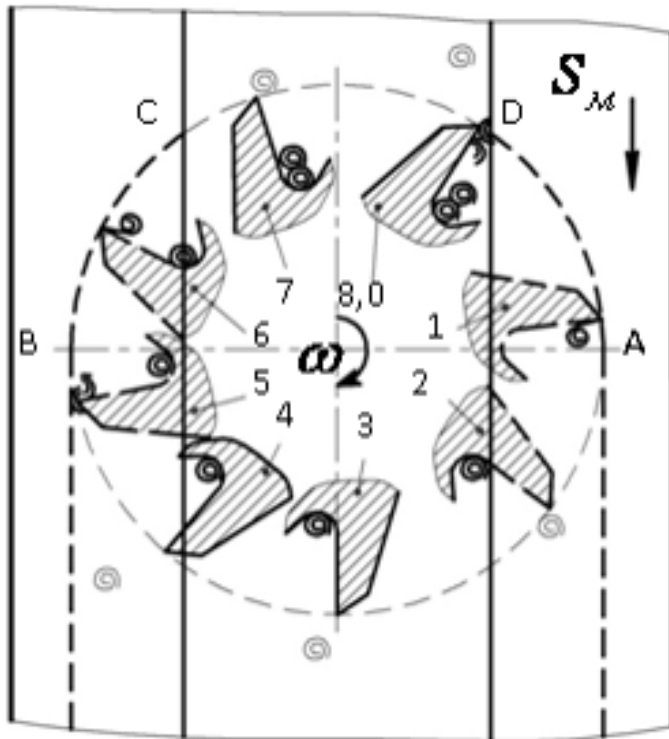
- зона 1 (участки ВС и DA) – непосредственная обработка поверхностей паза зубьями фрезы (отделение стружки);
- зона 2 (участки АВ и CD) – перемещение зубьев фрезы без обработки (отсутствие отделения стружки).

В конце зоны 1 (положение зуба 1) элемент стружки, отделенный зубом фрезы, в зависимости от соотношения действующих сил имеет возможность перемещаться в двух противоположных направлениях:

- от центра фрезы к ее периферии;
- от периферии фрезы к ее центру.

Перемещаясь от центра к периферии, элемент стружки либо удаляется из рабочего пространства фрезы (положения зуба 2, 3, 4, 7), ли-

бо остается в этом пространстве. В последнем случае, повторно попадая в зону обработки и взаимодействуя с зубьями инструмента (положения зуба 5 и 8), он деформируется.



**Рис. 1. Перемещение элемента стружки  
в рабочем пространстве фрезы:**

*1...8 - текущие положения зуба фрезы в течение её одного оборота*

Установлено, что в 30...100 % случаев для рекомендованных стандартами [1,2] режимных и конструктивных параметров Т-образных фрез элемент стружки перемещается в направлении от периферии фрезы к ее центру - то есть, в направлении, противоположном необходимому для удаления из рабочего пространства фрезы. В случае, когда отделенный элемент стружки на участке АВ не был удален из рабочего пространства фрезы, к нему на участке ВС добавляется еще один отделенный элемент стружки (положения зуба 7 и 8). В течение последующих оборотов фрезы в рабочее пространство дополнительно поступают вновь отделяемые элементы стружки.

Таким образом, фрезерование Т-образного паза сопровождается циркуляцией стружки и ее деформированием в результате повторного взаимодействия с зубьями инструмента, что определяет возрастание сил резания, повышенный износ режущих кромок зубьев, появления дополнительных погрешностей обработки и снижение качества обрабатываемых поверхностей.

Для изучения характера повторного взаимодействия элементов стружки с режущим инструментом выполнены экспериментальные исследования. Обработка Т-образной фрезой диаметром 21 мм заготовок из стали осуществлялась в представительных режимах на вертикально-фрезерном станке модели БМ76П-1. Полученная стружка была классифицирована в соответствии с характером ее деформирования на четыре группы.

Группа 1 характеризуется отсутствием следов пластической деформации стружки (37 % от общего её количества).

Группа 2 характеризуется пластической деформацией элемента стружки в её поперечном сечении (14 % от общего её количества).

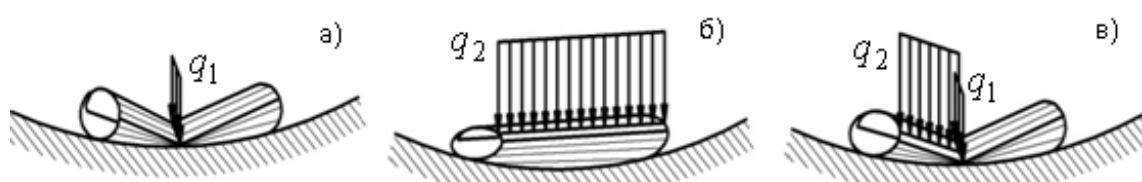
Группа 3 характеризуется пластической деформацией элемента стружки в её продольном сечении (8 % от общего её количества).

Группа 4 характеризуется комбинированной пластической деформацией элемента стружки одновременно в продольном и поперечном сечениях (7 % от общего её количества).

Группа 5 характеризуется разрушением элементов стружки на отдельные частицы (34 % от общего её количества).

Анализ приведённых данных позволяет сделать вывод о том, что около 63 % отделенной стружки повторно взаимодействует с режущим инструментом.

Для последних трёх групп, характеризующимся пластическим деформированием, выполнена схематизация процесса взаимодействия элемента стружки с лезвиями фрезы (рис. 2).



**Рис. 2. Схематизация деформирования элемента стружки:**  
**а - в поперечном сечении; б - в продольном сечении;**  
**в - одновременно в поперечном и продольном сечениях**

Поскольку пластическое деформирование и разрушение элемента стружки на части происходит вследствие воздействия значительных сил, то наблюдаемая картина свидетельствует о том, что фрезерование профильных пазов сопровождается формированием дополнительных сил вследствие повторного взаимодействия элементов стружки с режущим инструментом.

Исходя из изложенного, погрешность фрезерования Т-образных пазов можно представить в виде

$$\bar{\omega} = \bar{\omega}^{pez} + \bar{\omega}^{pez, cpr.},$$

где  $\bar{\omega}$  – погрешность вследствие упругих деформаций режущего инструмента;  $\bar{\omega}^{pez}$  – погрешность вследствие упругих деформаций режущего инструмента, вызванных отделением стружки;  $\bar{\omega}^{pez, cpr.}$  – погрешность вследствие упругих деформаций режущего инструмента, вызванных повторным взаимодействием зубьев фрезы с отделенной стружкой.

Возникновение погрешности  $\bar{\omega}^{pez}$  обусловлено закономерностью ориентации составляющих силы резания на зубьях фрезы. На рис. 3 показано, что векторы вертикальных составляющих сил резания  $P_v^{pez}$  на участках ВС и DA параллельны и направлены в одну сторону. Поэтому эти составляющие в любой текущий момент времени при обработке паза всегда суммируются, вызывая соответствующую деформацию режущего инструмента.

Профильную фрезу при фрезеровании паза можно схематизировать в виде консольно-закреплённой балки (рис. 4). Приложение силы  $P_v^{pez}$  вызывает угловую деформацию  $\Delta\alpha^{pez}$ , приложение силы  $P_v^{cpr}$  – деформацию  $\Delta\alpha^{cpr}$  и, соответственно, приложение суммарной силы  $P_{v\Sigma}$  – суммарную угловую деформацию  $\Delta\alpha_\Sigma$ . Угловой деформации оси фрезы  $\Delta\alpha^{pez}$  соответствуют систематические постоянные погрешности обработки паза  $\delta_1^{pez} = f_1(\omega^{pez})$  и  $\delta_2^{pez} = f_2(\omega^{pez})$ . Угловой деформации  $\Delta\alpha^{cpr}$  соответствуют  $\delta_1^{cpr} = f_1(\omega^{cpr})$  и  $\delta_2^{cpr} = f_2(\omega^{cpr})$ .

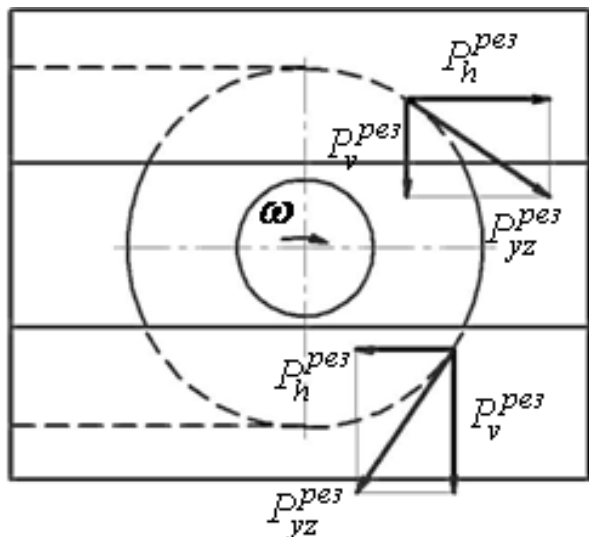


Рис. 3. Ориентация составляющих силы резания

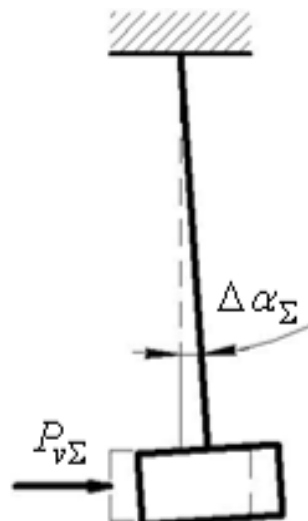
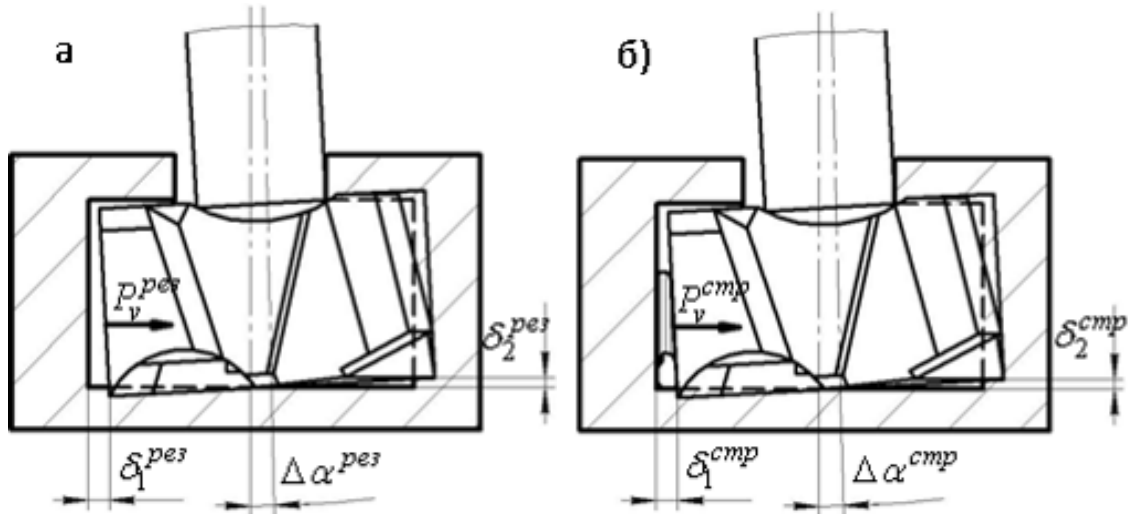


Рис. 4. Расчётная схема деформирования фрезы

Направление силы  $P_v^{cmp}$  (рис. 5) совпадает с направлением вертикальной составляющей  $P_v^{pes}$  силы резания  $P_{yz}^{pes}$ . Поэтому погрешность обработки, вызванная действием силы  $P_v^{cmp}$ , арифметически суммируется с погрешностью, вызванной деформацией инструмента под действием составляющей  $P_v^{pes}$ , существенно усугубляя ее

$$\delta_{1\Sigma} = f_1(\omega^{pes}) + f_1(\omega^{cmp});$$

$$\delta_{2\Sigma} = f_2(\omega^{pes}) + f_2(\omega^{cmp}).$$



**Рис. 5. Схема формирования погрешностей обработки Т-образного паза вследствие деформирования фрезы:**

*a - при отделении стружки;*

*б - при повторном взаимодействии отделенной стружки*

Значение силы  $P_v^{cmp}$ , согласно данным [3], составляет до 25 % от значения силы  $P_v^{pes}$ . При консольном закреплении упругой балки и нагружении ее поперечной силой зависимость перемещения от приложенной нагрузки имеет линейный характер. Таким образом, в первом приближении можно считать, что угловая деформация инструмента  $\Delta\alpha^{cmp}$  и погрешность обработки  $\delta_1^{cmp}$  и  $\delta_2^{cmp}$  (рис. 5б), обусловленные повторным взаимодействием стружки с инструментом, также будет составлять соответственно порядка 25 % от  $\Delta\alpha^{pes}$  и  $\delta_1^{pes}$ ,  $\delta_2^{pes}$ .

Для определения значений указанных погрешностей с достаточной точностью, необходимо выполнить моделирование и анализ деформирования режущего инструмента вследствие повторного взаимодействия зубьев фрезы с отделенной стружкой.

## **Выводы**

1. Установлено, что при фрезеровании Т-образных пазов в стальных заготовках около 63 % отделенной стружки повторно взаимодействует с режущим инструментом. Выполнена схематизация процесса повторного взаимодействия отделённой стружки с режущим инструментом.
2. Установлена структура и механизм формирования погрешности обработки профильных пазов.
3. Показано, что устранение, либо снижение погрешности обработки, обусловленной повторным взаимодействием профильных фрез с отделенной стружкой, является существенным резервом повышения точности обработки профильных пазов.

## **Библиографический список**

1. ГОСТ 7063-72 (СТ СЭВ 115-79, СТ СЭВ 4632-84). Фрезы для обработки Т-образных пазов. Технические условия. – Взамен ГОСТ 7063-63; введ. 01.01.74. – М.: Изд. стандартов, 1986. – 12 с.
2. ГОСТ 10673-75. Фрезы с напаянными твердосплавными пластинами для обработки Т-образных пазов. Технические условия. – Взамен ГОСТ 10673-63; введ. 01.01.77. – М.: Изд. стандартов, 1978. – 8 с.
3. Нечепаев В.Г., Гнитько А.Н. Результаты экспериментальных исследований фрезерования профильных пазов / Надійність інструменту та оптимізація технологічних систем: збірник наукових праць. – Краматорськ-Київ: ДДМА, 2006. – Вип. 20. – С. 54-62.